

## Нелинейные доплероны в полуметаллах

© В.Г. Скобов<sup>1</sup>, А.С. Чернов<sup>2</sup>

<sup>1</sup> Санкт-Петербургский государственный электротехнический университет „ЛЭТИ“, Санкт-Петербург, Россия

<sup>2</sup> Национальный исследовательский ядерный университет „МИФИ“, Москва, Россия

E-mail: vskobov@mail.ru

(Поступила в Редакцию 30 декабря 2013 г.)

Теоретически изучена возможность распространения нелинейных волн в полуметаллах в геометрии, когда постоянное магнитное поле  $\mathbf{H}$  направлено вдоль тригональной оси кристалла. В линейном режиме в этой геометрии существует сильное магнитное затухание Ландау, и волновое распространение отсутствует. Показано, что захват электронов магнитным полем радиочастотной волны большой амплитуды уменьшает это поглощение. В результате в мышьяке и, возможно, сурьме становится возможным распространение нелинейных доплеронов.

### 1. Введение

Существование магнитного затухания Ландау (МЗЛ), бесстолкновительного поглощения носителями, движущимися в фазе с волной, значительно затрудняет распространение радиоволн в металлах [1]. Ситуации, когда волновое распространение возможно, встречаются реже тех, когда оно отсутствует. Радиоволны могут распространяться, только если по каким-либо причинам бесстолкновительное поглощение существенно ослаблено. Ослабление поглощения происходит, например, в нелинейном режиме. Так, при распространении геликона в щелочном металле в наклонном магнитном поле имеется значительное МЗЛ. Вугальтер и Демиховский показали, что „захват“ электронов магнитным полем волны может уменьшить это затухание и облегчить распространение геликона [2]. Другой пример — ситуация в кадмии. В геометрии, когда постоянное магнитное поле  $\mathbf{H}$  и волновой вектор  $\mathbf{k}$  направлены вдоль оси  $C_6$ , в нем возможно распространение доплеронов — радиочастотных (РЧ) волн, обусловленных доплер-сдвинутым циклотронным резонансом (ДСЦР) [3] (МЗЛ в этой геометрии отсутствует вследствие симметрии). Однако при отклонении вектора  $\mathbf{H}$  от гексагональной оси кристалла возникает большое МЗЛ, и доплерон становится затухающим [4,5]. В нелинейном режиме ситуация меняется: в [6] нами было показано, что при больших амплитудах РЧ-поля МЗЛ в кадмии может быть настолько подавлено, что распространение доплеронов становится возможным и в геометрии, когда поле  $\mathbf{H}$  направлено под углом к оси  $C_6$ .

Другим возможным объектом для осуществления „просветления“ металла по отношению к радиоволнам являются полуметаллы. Концентрация носителей в них намного ниже, чем в типичных металлах, и поэтому в них легче создать РЧ-поле большой амплитуды. В то же время вследствие очень сильной анизотропии поверхности Ферми МЗЛ в них очень велико и существует даже при ориентации вектора  $\mathbf{H}$  вдоль тригональной оси.

В [7] нами было изучено влияние нелинейности на проникновение радиоволн в полуметаллы в этой геометрии. Было показано, что захват электронов магнитным полем РЧ-волны уменьшает МЗЛ, но оно остается все же очень большим. При этом глубина скин-слоя в полуметалле становится функцией амплитуды возбуждающего РЧ-поля и может возрасти во много раз. В [7] рассматривалась область сильных магнитных полей, в которой смещение электронов за циклотронный период много меньше длины РЧ-волны в кристалле. В этой области имеется только одно решение дисперсионного уравнения, описывающее поле в скин-слое. В области не столь сильных магнитных полей, где смещение электронов и длина РЧ-волны сближаются, имеет место ДСЦР и ситуация может оказаться аналогичной наблюдаемой в кадмии при отклонении поля  $\mathbf{H}$  от оси  $C_6$ . Поэтому вопрос о возможности „просветления“ полуметаллов в нелинейном режиме требует специального рассмотрения, которое и составляет содержание настоящей работы.

### 2. Поверхность Ферми и нелокальная проводимость

Электронная поверхность Ферми полуметалла состоит из трех сильно вытянутых эллипсоидов, наклоненных к базовой плоскости и симметрично расположенных относительно оси  $C_3$  [8]. В системе координат, в которой ось  $z$  направлена вдоль  $C_3$ , а ось  $x$  — вдоль лежащей в базовой плоскости главной оси одного из эллипсоидов, зависимость энергии электрона  $\varepsilon$  от импульса  $\mathbf{p}$  имеет вид

$$\varepsilon(\mathbf{p}) = \frac{1}{2m} (\alpha_1 p_x^2 + \alpha_2 p_y^2 + \alpha_3 p_z^2 + 2\alpha_4 p_y p_z), \quad (1)$$

где

$$\alpha_1 = 197, \quad \alpha_2 = 1.64, \quad \alpha_3 = 81.1, \quad \alpha_4 = 9.4,$$

$m$  — масса свободного электрона. Энергия Ферми висмута  $\varepsilon_F \approx 0.02$  eV. Энергии Ферми сурьмы и мышьяка составляют примерно 0.4 и 2 eV соответственно.

Дырочная поверхность Ферми висмута представляет собой эллипсоид вращения с осью, параллельной оси  $C_3$ . Данные о дырочных Ферми-поверхностях сурьмы и мышьяка противоречивы [8]. Здесь примем, что их отличие от дырочной Ферми-поверхности висмута незначительно.

Состояние электрона на поверхности Ферми  $\varepsilon = \varepsilon_F$  удобно характеризовать значением продольного импульса  $p_z$  и безразмерным временем периодического движения  $\Phi$  (фазой, определяющей положение электрона на орбите). Тогда компоненты импульса электрона  $\mathbf{p}$  и скорости  $\mathbf{v} = \partial\varepsilon/\partial\mathbf{p}$  даются формулами

$$p_x(p_z, \Phi) = \frac{p}{\sqrt{\alpha_1}} \cos \Phi, \quad p_y(p_z, \Phi) = \frac{p}{\sqrt{\alpha_2}} \sin \Phi - \frac{\alpha_4}{\alpha_2} p_z, \quad (2)$$

$$v_x(p_z, \Phi) = \sqrt{\alpha_1} \frac{p}{m} \cos \Phi, \quad v_y(p_z, \Phi) = \sqrt{\alpha_2} \frac{p}{m} \sin \Phi, \quad (3)$$

$$v_z(p_z, \Phi) = \frac{\alpha p_z}{m} + \frac{\alpha_4}{\sqrt{\alpha_2}} \frac{p}{m} \sin \Phi, \quad p = \sqrt{2m\varepsilon_F - \alpha p_z^2}, \quad (4)$$

где  $\alpha = \alpha_3 - \alpha_4^2/\alpha_2$ . Зависимость  $v_z$  от  $\Phi$  — следствие того, что ось  $z$  не является главной осью эллипсоида. В результате орбита электронов центрального сечения эллипсоида ( $p_z = 0$ ) оказывается сильно наклоненной к базовой плоскости. Именно это и обуславливает существование МЗЛ в рассматриваемой геометрии.

Рассмотрим распространение волны вдоль постоянного магнитного поля  $\mathbf{H}$ , ориентированного параллельно тригональной оси полуметалла: волновой вектор  $\mathbf{k} \parallel \mathbf{H} \parallel C_3 \parallel z$ . Спектр и затухание волн, поляризованных по кругу ( $E_{\pm} = E_x \pm iE_y$ ), определяются дисперсионным уравнением

$$k^2 c^2 = 4\pi i \omega \sigma_{\pm}(k, H), \quad (5)$$

где  $c$  — скорость света,  $\omega$  — частота волны,

$$\sigma_{\pm} = \frac{1}{2} (\sigma_{xx} + \sigma_{yy}) \pm i\sigma_{yx}, \quad (6)$$

$\sigma_{\alpha\beta}$  — элементы тензора поперечной проводимости с учетом зависимости от вектора распространения  $k$  и магнитного поля  $\mathbf{H}$ . Общие выражения для  $\sigma_{\alpha\beta}$  в данной геометрии были получены в работе [7], согласно результатам которой

$$\sigma_{xx} = \sigma_{yy} = \frac{3}{16} \sqrt{\frac{\alpha_1}{\alpha_2}} \frac{ne c}{H p_1^3} \times \sum_{l=-\infty}^{\infty} \int_{-p_1}^{p_1} [J_{l-1}(Y) - J_{l+1}(Y)]^2 \frac{(p_1^2 - p_z^2) dp_z}{\gamma + i(l + qp_z/p_1)}, \quad (7)$$

$$\sigma_{yx} = -\frac{ne c}{H} + \frac{3}{8} \frac{ne c}{H p_1^3} \times \sum_{l=-\infty}^{\infty} \int_{-p_1}^{p_1} [J_{l-1}^2(Y) - J_{l+1}^2(Y)] \frac{(p_1^2 - p_z^2) dp_z}{l + qp_z/p_1 - i\gamma}, \quad (8)$$

где

$$n = \frac{(2m\varepsilon_F)^{3/2}}{\pi^2 \hbar^3 (\alpha_1 \alpha_2 \alpha)^{1/2}}, \quad \gamma = \frac{\nu}{\omega_c} \ll 1, \quad \omega_c = \frac{eH}{m_c c}, \quad m_c = \frac{m}{\sqrt{\alpha_1 \alpha_2}}, \quad (9)$$

$J_l(\xi)$  — функции Бесселя,

$$Y = \eta q \left( 1 - \frac{p_z^2}{p_1^2} \right)^{1/2}, \quad q = \frac{\alpha}{\sqrt{\alpha_1 \alpha_2}} \frac{kc p_1}{eH}, \quad \eta = \frac{\alpha_4}{\sqrt{\alpha_2 \alpha}}, \quad p_1^2 = \frac{2m\varepsilon_F}{\alpha}. \quad (10)$$

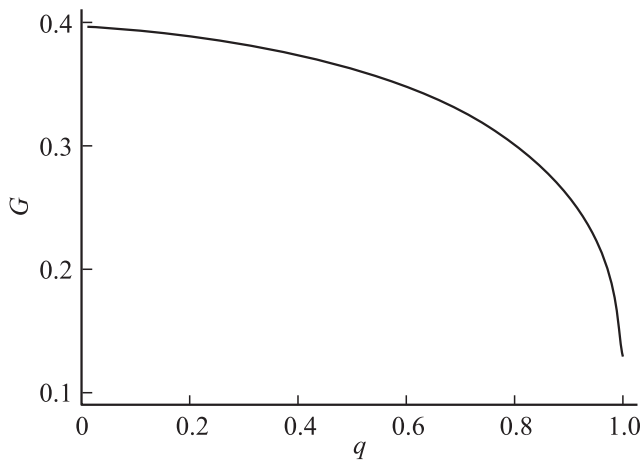
Здесь  $-e$  — заряд электрона,  $\omega_c$  — циклотронная частота,  $m_c$  — циклотронная масса,  $\nu$  — частота столкновений электронов с рассеивателями,  $n$  — общая концентрация электронов, равная концентрации дырок,  $p_1$  — максимальное значение продольного импульса  $p_z$ ,  $q$  — отношение максимального смещения электрона за циклотронный период к длине РЧ-волны в металле. В (7), (8) пренебрегается зависимостью  $\sigma_{\alpha\beta}$  от  $\omega$ , поскольку рассматривается случай низких частот:  $\omega \ll \nu$ . Первое слагаемое в (8) представляет локальный вклад дырок в холловскую проводимость, а второе — нелокальный вклад электронов. Возможность использования локального приближения для описания вклада дырок объясняется тем, что их максимальное смещение за циклотронный период в несколько раз меньше смещения электронов. В результате нелокальные эффекты в дырочной проводимости оказываются значительно слабее, чем в электронной.

Нас интересует область ДСЦР, в которой  $q^2 \leq 1$ . В этой области в (7) можно ограничиться лишь членом с  $l = 0$  и заменить в нем  $(\gamma + iqp_z/p_1)^{-1}$  на  $\pi\delta(qp_z/p_1)$ . После этого интегрирование по  $p_z$  дает

$$\sigma_{xx} = \sigma_{yy} \equiv \sigma(q) = \frac{3\pi}{4} \sqrt{\frac{\alpha_1}{\alpha_2}} \frac{ne c}{q^2 H} J_1^2(\eta q). \quad (11)$$

Эта диссипативная проводимость и представляет магнитное затухание Ландау, которое обусловлено бесстолкновительным поглощением волны электронами с  $p_z = 0$ . В полуметаллах оно существует даже при  $\mathbf{k} \parallel \mathbf{H}$ . Причина состоит в том, что большая ось электронного эллипсоида наклонена к оси  $y$  ( $\alpha_4 \neq 0$ ) и продольная скорость  $v_z$  содержит осциллирующее слагаемое, пропорциональное  $\sin \Phi$ . Вследствие этого орбиты электронов с  $p_z = 0$  оказываются наклонены к плоскости  $xu$ , и эти электроны движутся в неоднородном волновом поле. Если бы главная ось эллипсоида совпадала с осью  $y$ , то величины  $\alpha_4$ ,  $\eta$ ,  $J_1(\eta q)$  и, следовательно,  $\sigma(q)$  были бы равны нулю, т.е. при  $\mathbf{k} \parallel \mathbf{H}$  магнитное затухание Ландау отсутствовало бы.

Изучим теперь холловскую проводимость  $\sigma_{yx}$ . В области  $q^2 < 1$  в пределе  $\gamma \rightarrow 0$  эта функция является



**Рис. 1.** Функция  $G(q)$ , определяющая нелокальную холловскую проводимость полуметалла.

вещественной и имеет вид

$$\sigma_{yx} = \frac{nec}{H} [F(q) - 1], \quad (12)$$

$$F(q) = \frac{3}{2p_1} \sum_{l=1}^{\infty} l \int_0^{p_1} [J_{l-1}^2(Y) - J_{l+1}^2(Y)] \frac{p_1^2 - p_z^2}{l^2 p_1^2 - q^2 p_z^2} dp_z. \quad (13)$$

При  $q^2 \ll 1$  в (13) можно удержать лишь члены с  $l = \pm 1$  и  $\pm 2$  и разложить подынтегральную функцию в ряд по степеням  $q^2$ . Сохраняя два первых члена разложения и вычисляя интеграл, находим

$$\sigma_{yx} \approx -\frac{nec}{H} a_0 q^2, \quad a_0 \approx 0.4. \quad (14)$$

Величина (14) обусловлена нелокальными эффектами в электронной холловской проводимости. Неожиданным является то, что она отрицательна, как если бы она была обусловлена дырками. В работах по изучению ДСЦР в металлах холловская проводимость  $\sigma_{yx}$  всегда оказывалась монотонно возрастающей функцией в интервале  $0 < q^2 < 1$ , достигая наибольшего значения при  $q^2 = 1$  (фундаментальный ДСЦР). Это следствие того, что наличие слагаемого  $(-q^2 p_z^2)$  в знаменателе подынтегральной функции в (13), обусловленного доплеровским сдвигом частоты, ведет к увеличению холловской проводимости при приближении  $q^2$  к единице. В действительности помимо увеличения проводимости при приближении к резонансу имеется другой нелокальный эффект, связанный с осцилляциями продольной скорости  $v_z$  при вращении электронов в поле  $\mathbf{H}$ . Эти осцилляции  $v_z$  приводят к быстрым изменениям волнового поля вдоль траектории электрона и в результате к уменьшению проводимости. Математически это проявляется в том, что с ростом  $q^2$  величина  $J_0^2(y)$  уменьшается. В рассматриваемом случае это уменьшение и оказывается преобладающим.

Последующие члены разложения  $\sigma_{yx}$  по степеням  $q^2$  являются положительными. Поэтому при дальнейшем увеличении  $q^2$  величина  $\sigma_{yx}^{(e)}$  имеет минимум, а затем резко возрастает, достигая значения

$$\sigma_{yx}(1) = -\frac{nec}{H} a_1, \quad a_1 \approx 0.13. \quad (15)$$

Для описания поведения функции  $F(q)$  в интервале  $(0, 1)$  ее удобно представить в форме

$$F(q) = 1 - a_0 q^2 G(q). \quad (16)$$

Функция  $G(q)$  обладает простыми свойствами. При  $q = 0$  она равна единице, а при  $q = 1$  равна  $a_1/a_0$ . Производная  $dG/dq$  отрицательна во всем интервале  $(0, 1)$ , при этом с ростом  $q^2$  она монотонно уменьшается от 0 до  $-\infty$ . Функция  $G(q)$  приведена на рис. 1.

В интервале  $0 < q^2 < 1$  эту функцию можно аппроксимировать намного более простой функцией

$$S(q) = \beta + (1 - \beta) \sqrt{1 - q^2} \quad \left( \beta = \frac{a_1}{a_0} \right), \quad (17)$$

обладающей всеми характерными свойствами функции  $G(q)$ : на границах интервала  $[0, 1]$  значения этих двух функций совпадают, а внутри интервала их отличие не превышает нескольких процентов; производная  $dS/dq$  монотонно уменьшается от 0 до  $-\infty$ . Поэтому  $S(q)$  является хорошей интерполяцией функции  $G(q)$ . В результате можем представить  $\sigma_{yx}(q)$  в виде

$$\sigma_{yx} \approx -\frac{nec}{H} a_0 q^2 S(q). \quad (18)$$

Таким образом, для нелокальной проводимости полуметалла получаем формулу

$$\sigma_{\pm}(q) = \frac{nec}{H} \left[ \frac{3\pi}{4} \sqrt{\frac{\alpha_1}{\alpha_2 q^2}} J_1^2(\eta q) \mp i a_0 q^2 S(q) \right]. \quad (19)$$

Множитель  $(\alpha_1/\alpha_2)^{1/2}$  очень большой. Поэтому вещественная часть  $\sigma_{\pm}$ , связанная с МЗЛ, сильно превосходит мнимую часть. Вследствие этого распространение низкочастотных  $\omega < \nu$  волн в полуметаллах в линейном режиме оказывается невозможным.

### 3. Нелинейное магнитное затухание Ландау

В нелинейном режиме ситуация становится иной. Магнитное поле волны вызывает колебания электронов вдоль оси  $z$ . Вследствие этого электроны, ответственные за МЗЛ, перестают двигаться строго в фазе с волной, и эффективность поглощения уменьшается [2]. Подавление МЗЛ в кадмии может быть настолько существенным [6], что в геометрии, когда поле  $\mathbf{H}$  отклонено от оси  $C_3$  и в линейном режиме волновое распространение отсутствует, в нелинейном режиме становится возможным распространение электронного доплерона.

Для выяснения возможности подобного эффекта в полуметаллах рассмотрим движение электронов с  $p_z \ll p_1$  в поле волны. В системе координат, движущейся вдоль оси  $z$  с фазовой скоростью волны  $\omega/k$ , электрическое поле отсутствует, магнитное поле волны не зависит от времени и движение электрона описывается уравнением

$$\dot{\mathbf{p}} = -\frac{e}{c} \mathbf{v} \times (\mathbf{H} + \mathbf{H}_w(z)), \quad (20)$$

где точка сверху означает производную по времени,  $\mathbf{H}_w = \{-H_w \sin(kz), H_w \cos(kz), 0\}$  — магнитное поле волны. В цилиндрических координатах  $p_z, p, \Phi$  (20) можно записать в виде

$$\dot{p}_z = -\frac{\omega_c p}{\sqrt{\alpha_2}} \frac{H_w}{H} \cos \Phi \cos kz, \quad (21)$$

$$\dot{p} = -\frac{\alpha p_z}{p} \dot{p}_z, \quad \dot{\Phi} = \frac{eH}{m_c c}. \quad (22)$$

В (21) мы пренебрегли малым членом, обратно пропорциональным  $\sqrt{\alpha_1}$ , а во втором уравнении (22) — членом, пропорциональным полю  $\mathbf{H}_w$ , которое предполагается малым по сравнению с постоянным полем  $\mathbf{H}$ . Система (21), (22) должна быть дополнена уравнением

$$\dot{z} \equiv v_z = \frac{\alpha p_z}{m} + \frac{\alpha_4}{\sqrt{\alpha_2}} \frac{p}{m} \sin \Phi, \quad (23)$$

определяющим продольную скорость электрона.

Решение второго уравнения (22) есть  $\Phi = \omega_c t$ . Кроме того, ввиду малости  $p_z/p$  мы можем заменить выражение в правой части первого уравнения (22) на нуль и считать  $p$  постоянным. Остающиеся уравнения (21) и (23) усредним по периоду быстрого изменения фазы  $\Phi$ , отмечая средние значения индексом  $a$ . Неизвестную  $z$  запишем в виде

$$z = z_a - \frac{\alpha_4}{\sqrt{\alpha_2}} \frac{p}{m \omega_c} \cos \Phi, \quad (24)$$

второе слагаемое описывает быстрые изменения  $z$  вследствие вращения электрона по наклонной орбите. Подставляя (24) в (23), имеем

$$\dot{z}_a = \frac{\alpha}{m} p_{za}. \quad (25)$$

Дифференцируя (25) по  $t$  и заменяя  $\dot{p}_z$  на правую часть (21), получаем уравнение для  $z_a$

$$\ddot{z}_a = \frac{\alpha}{\sqrt{\alpha_2}} \frac{\omega_c p}{m} \frac{H_w}{H} [\cos \Phi \cos(kz_a - \eta q \cos \Phi)]_a. \quad (26)$$

Используя формулу

$$\exp(i\xi \cos \Phi) = \sum_{l=-\infty}^{\infty} i^l J_l(\xi) \exp(il\Phi), \quad (27)$$

разложим теперь второй косинус в (26) в ряд Фурье и произведем усреднение по  $\Phi$ . В результате получаем

$$k \ddot{z}_a + \omega_0^2 \sin kz_a = 0, \quad (28)$$

где

$$\omega_0^2 = \frac{\alpha_4}{2\alpha_2} \omega_c^2 q^2 \frac{H_w}{H} \frac{2J_1(\eta q)}{\eta q}. \quad (29)$$

Первый интеграл (29) имеет вид

$$(\dot{z}_a)^2 = v_{z0}^2 + \frac{2\omega_0^2}{k^2} \cos(kz_a). \quad (30)$$

Электроны, для которых  $v_{z0} > \sqrt{2}\omega_0/k$ , совершают инфинитное движение вдоль оси  $z$  и называются пролетными. Электроны, для которых  $v_{z0} < \sqrt{2}\omega_0/k$ , колеблются с частотой порядка  $\omega_0$ . Если  $\omega_0 \gg v$ , то эти электроны захватываются волной, и бесстолкновительное поглощение уменьшается. Вугальтер и Демиковский [2] показали, что в нелинейном режиме затухание геликона уменьшается в  $\omega_0/v$  раз. Поэтому, если в правую часть выражения (11) для  $\sigma(q)$  ввести множитель  $(1 + \omega_0^2/v^2)^{-1/2}$ , получим интерполяционную формулу

$$\sigma^{(n)}(q) = \frac{3\pi}{4} \sqrt{\frac{\alpha_1}{\alpha_2}} \frac{nec}{q^2} \frac{J_1^2(\eta q)}{(1 + \omega_0^2/v^2)^{1/2}}, \quad (31)$$

которая хорошо описывает МЗЛ в линейном ( $\omega_0 \ll v$ ) и нелинейном ( $\omega_0 \gg v$ ) режимах. Выражение для нелокальной проводимости полуметалла и дисперсионное уравнение (5) принимают теперь вид

$$\sigma_{\pm}^{(n)}(q) = \frac{nec}{H} \left[ \frac{3\pi}{4} \sqrt{\frac{\alpha_1}{\alpha_2}} \frac{J_1^2(\eta q)}{q^2 (1 + \omega_0^2/v^2)^{1/2}} \mp ia_0 q^2 S(q) \right], \quad (32)$$

$$q^2 = \xi \left[ \frac{3\pi i}{4} \sqrt{\frac{\alpha_1}{\alpha_2}} J_1^2(\eta q) \left( 1 + \rho q^2 \frac{\omega_c^2}{v^2} \right)^{-1/2} \pm a_0 q^2 S(q) \right], \quad (33)$$

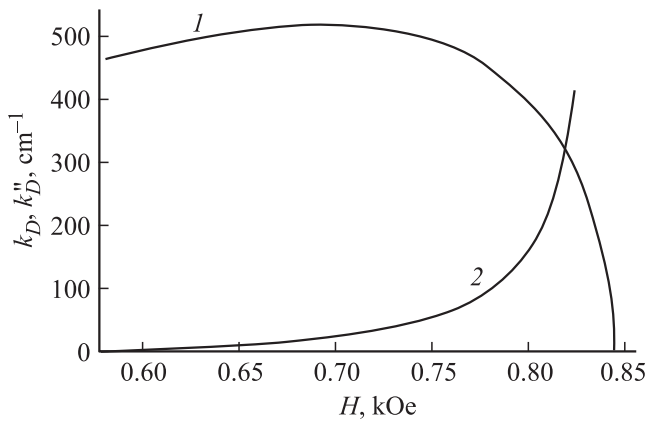
где

$$\xi = \frac{4\pi\omega_n p_1^2 c}{eH^3} \frac{\alpha^2}{\alpha_1 \alpha_2}, \quad \rho = \frac{\alpha_4}{2\alpha_2} \frac{H_w}{H}. \quad (34)$$

Величина  $\alpha_1$  на два порядка превосходит  $\alpha_2$ . Поэтому в линейном режиме ( $\omega_0 \ll v$ ) диссипативная проводимость  $\sigma^{(n)}$  (МЗЛ) по меньшей мере на порядок превосходит холловскую проводимость. Вследствие этого корни дисперсионного уравнения являются существенно комплексными, и распространение низкочастотных ( $\omega < v$ ) волн в полуметаллах оказывается невозможным.

#### 4. Нелинейный доплерон

Проанализируем теперь решения дисперсионного уравнения при больших амплитудах возбуждающего поля  $H_w$ , удовлетворяющих условию  $\omega_0 \gg v$ . В этом случае второе слагаемое в круглых скобках в (33) велико по сравнению с единицей и дисперсионное уравнение волны, поле которой вращается в направлении, противоположном направлению вращения электронов в



**Рис. 2.** Зависимость волнового вектора (1) и затухания (2) нелинейного доплерона от поля  $H$ .

магнитном поле (поляризация „плюс“), приобретает вид

$$\frac{q^2}{\xi} = a_0 q^2 \left[ \beta + (1 - \beta) \sqrt{1 - q^2} \right] + \frac{3\pi i}{4} \left( \frac{\alpha_1}{\alpha_2} \right)^{1/2} \frac{J_1^2(\eta q)}{q^2} \frac{v}{\omega_c \sqrt{\rho}}. \quad (35)$$

При получении (35) мы учли явный вид функции  $S(q)$ , определяемой (17).

Нас интересует возможность существования корня дисперсионного уравнения, величина которого  $q \sim 1$ . На это имеются две причины. Первая состоит в том, что отношение холловской проводимости к диссипативной проводимости существенно зависит от  $q$ : оно мало при малых  $q$  и имеет максимум при  $q \sim 1$ . Поэтому есть шанс, что такой корень окажется преимущественно вещественным. Вторая причина заключается в том, что частота колебаний „захваченных“ электронов  $\omega_0$  пропорциональна  $q$  и, следовательно, при  $q \sim 1$  легче реализовать режим сильной нелинейности, в котором происходит подавление бесстолкновительного поглощения.

В области сильных магнитных полей, где  $\xi \ll 1$ , холловская проводимость пренебрежимо мала, и уравнение (35) имеет только малый существенно комплексный корень, относящийся к скин-компоненте РЧ-поля, обусловленной магнитным затуханием Ландау [7]. В области же умеренных полей, где величина  $\xi \sim 1$ , холловская проводимость может стать больше нелинейного МЗЛ, и здесь окажется возможным волновое распространение. Поэтому данная область полей и будет нас интересовать.

При  $\xi \sim 1$  и  $q \sim 1$  величина в левой части (35) и первое слагаемое в правой части порядка единицы. Второе же слагаемое в правой части (35) содержит произведение малого множителя  $v/\omega_c$  и большого множителя  $(\alpha_1/\alpha_2\rho)^{1/2}$ . Если первый из них достаточно мал, а второй не слишком велик ( $\rho$  не очень мало), то мнимый член в (35) может оказаться малым. В этом случае решение (35) можно найти методом

последовательных приближений. В первом приближении пренебрежем малым мнимым слагаемым и представим это уравнение в форме

$$\frac{1}{a_0 \xi} = \beta + (1 - \beta) \sqrt{1 - q^2}. \quad (36)$$

Решение (36) имеет вид

$$q_D = \left[ 1 - \left( \frac{h^3 - \beta}{1 - \beta} \right)^2 \right]^{1/2}, \quad h^3 = \frac{1}{a_0 \xi} \equiv \left( \frac{H}{H_U} \right)^3. \quad (37)$$

Оно является вещественным в интервале магнитных полей, определяемом неравенствами  $\beta \leq h^3 \leq 1$ , или неравенствами

$$H_L \leq H \leq H_U, \quad H_L = H_U \beta^{1/3}. \quad (38)$$

Величина  $q_D \rightarrow 1$  при  $H \rightarrow H_L$  и  $q_D \rightarrow 0$  при  $H \rightarrow H_U$ . Это решение описывает доплерон, обусловленный ДСЦР электронов опорной точки. Величина  $H_L$  имеет смысл нижнего порога доплерона, а величина  $H_U$  — верхнего. Поскольку  $\beta \sim 1/3$ , имеем  $H_U \sim 1.5H_L$ . Зависимость волнового вектора доплерона  $k_D = \sqrt{\alpha_1 \alpha_2} eHq_D / \alpha \rho_1 c$  от поля  $H$  для мышьяка (энергия Ферми  $\epsilon_F \approx 2$  эВ) и значений параметров  $\omega/2\pi = 1$  МГц,  $v = 5 \cdot 10^8$  с<sup>-1</sup>,  $H_w = 100$  Ое приведена на рис. 2 (кривая 1).

Найдем теперь затухание доплерона. Сохраняя в (35) слагаемое, пропорциональное  $i v$ , поделим все члены на  $q^2$ . Затем в малом члене, пропорциональном  $v/\omega_c$ , можем заменить  $q$  на  $q_D$ , а в слагаемое с  $a_0$  подставить  $q = q_D + i q_D''$ . Разлагая это слагаемое по степеням  $q_D''$  и ограничиваясь линейным членом разложения, находим затухание доплерона

$$k_D'' = \sqrt{\alpha_1 \alpha_2} \frac{eHq_D''}{\alpha \rho_1 c} = \frac{3\pi}{4a_0} \left( \frac{\alpha_1}{\alpha_2} \right)^{1/2} \frac{J_1^2(\eta q_D)}{q_D^5} \frac{v}{\omega_c \sqrt{\rho}} \frac{h^3 - \beta}{(1 - \beta)^2}. \quad (39)$$

Зависимость  $k_D''$  от  $H$  изображена кривой 2 на рис. 2. Видно, что хотя в окрестности верхнего порога доплерона ( $H_U = 840$  Ое) затухание велико ( $k_D'' \sim k_D$ ), в окрестности нижнего порога ( $H_L = 580$  Ое) оно оказывается малым ( $k_D'' \ll k_D$ ). Таким образом, подавление МЗЛ в нелинейном режиме делает возможным распространение доплерона в мышьяке.

Отметим особенности этого доплерона. Хотя он обусловлен ДСЦР электронов, его поле вращается в сторону, противоположную направлению вращения электронов в магнитном поле. Это является следствием уменьшения холловской проводимости электронов из-за осцилляций их продольной скорости. В результате нелокальный вклад электронов в холловскую проводимость оказывается меньше локального вклада дырок. Изменение знака нелокальной холловской проводимости приводит также

к тому, что дисперсия спектра доплерона становится нормальной, в то время как дисперсия доплерона в Cd является аномальной. Меняется и поведение затухания доплерона с полем  $H$ . Затухание доплерона в As возрастает от нижнего порога к верхнему, тогда как в Cd оно падает. Далее, затухание доплерона в мышьяке обусловлено бесстолкновительным поглощением, в то время как в кадмии в геометрии  $\mathbf{H} \parallel C_6$  оно обусловлено столкновениями электронов. Наконец, последнее и самое существенное отличие состоит в том, что доплерон в мышьяке может распространяться только при больших амплитудах поля  $H_w$ , удовлетворяющих неравенству

$$\rho \gg \frac{\alpha_2}{\alpha_1} \left( \frac{v}{\omega_c \xi} \right)^2. \quad (40)$$

Общим у этих доплеронов является то, что оба они обусловлены доплер-сдвинутым циклотронным резонансом электронов опорной точки.

## 5. Заключение

В работе проведен расчет спектра и затухания доплерона в мышьяке, поскольку нелинейные эффекты оказываются наиболее сильными именно в этом полуметалле. Концентрация электронов в нем на три порядка выше, чем в Vi:  $n \sim 3 \cdot 10^{20} \text{ см}^{-3}$ . Поэтому величина  $\xi$  в As в 1000 раз больше, чем в Vi, и ее значение в области сильных магнитных полей ( $\omega_c \gg v$ ) может быть больше единицы, что необходимо для существования доплерона. Напротив, в Vi величины  $\xi$  и  $q$  очень малы, так что существование нелинейного доплерона оказывается невозможным. Сурьма занимает промежуточное положение между Vi и As ( $n \sim 3 \cdot 10^{19} \text{ см}^{-3}$  [8]). Поэтому реализовать условия, необходимые для распространения нелинейного доплерона, в Sb труднее, чем в мышьяке.

## Список литературы

- [1] Э.А. Канер, В.Г. Скобов. ЖЭТФ **45**, 610 (1963).
- [2] Г.Ф. Вугальтер, В.Я. Демиковский. ЖЭТФ **70**, 1419 (1976).
- [3] Л.М. Фишер, В.В. Лаврова, В.А. Юдин, О.В. Константинов, В.Г. Скобов. ЖЭТФ **60**, 759 (1971).
- [4] В.В. Лаврова, В.Г. Скобов, Л.М. Фишер, А.С. Чернов, В.А. Юдин. ФТТ **15**, 2335 (1973).
- [5] И.Ф. Волошин, Н.А. Подлевских, В.Г. Скобов, Л.М. Фишер, А.С. Чернов. ЖЭТФ **90**, 352 (1986).
- [6] В.Г. Скобов, А.С. Чернов. ФТТ **55**, 213 (2013).
- [7] В.Г. Скобов, А.С. Чернов. ФТТ **55**, 1903 (2013).
- [8] А. Крэкнелл, К. Уонг. Поверхность Ферми. Атомиздат, М. (1978). С. 199.